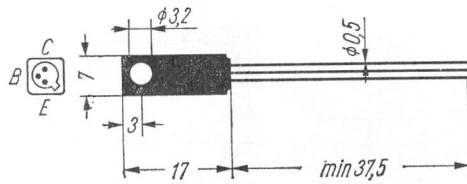


AC187K



Rys. 1-85. AC187K

Typ tranzystora: tranzystor germanowy

Firma: TELEFUNKEN

Wykonanie: tranzystor germanowy stopowy *n-p-n* w obudowie metalowej, wyprowadzenia izolowane elektrycznie od obudowy, ciężar max 4 G

Zastosowanie: stopnie końcowe, w szczególności w układach przeciwobnych jako komplementarny do AC188K

Typy podobne: AC194(Ph), GC521(Tes)

Wartości charakterystyczne¹⁾

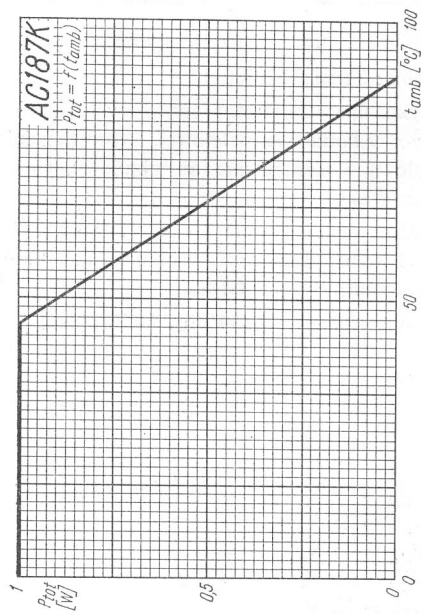
	min	typ	max		
I_{CBO}		7	35	μA	przy $U_{CB} = 10 V$
I_{CBO}		0,6	2	mA	przy $U_{CB} = 10 V, t_{amb} = 90^{\circ}C$
I_{CBO}		25	200	μA	przy $U_{CB} = 25 V$
I_{CBO}		0,8	2,5	mA	przy $U_{CB} = 25 V, t_{amb} = 90^{\circ}C$
I_{CES}			0,2	mA	przy $U_{CE} = 25 V, U_{BE} = 1 V$
I_{EBO}		0,02	0,2	mA	przy $U_{EB} = 10 V$
$U_{CE sat}^{2)}$			0,6	V	przy $I_C = 1 A$ dla krzywych, które przy równym I_B przechodzą przez punkt $U_{CE} = 1 V, I_C = 1,1 A$
U_{BE}	115		145	mV	przy $U_{CE} = 10 V, I_C = 5 mA$
U_{BE}			0,3	V	przy $U_{CB} = 0, I_C = 50 mA$
$U_{BE}^{2)}$			0,65	V	przy $U_{CB} = 0, I_C = 300 mA$
$U_{BE}^{2)}$			1	V	przy $U_{CB} = 0, I_C = 1 A$
I_B	0,11		0,55	mA	przy $U_{CB} = 0, I_C = 50 mA$
$I_B^{2)}$			0,6	mA	przy $U_{CB} = 0, I_C = 300 mA$
$I_B^{2)}$			15,4	mA	przy $U_{CB} = 0, I_C = 1 A$
$U_{CE0}^{2)}$			15	V	przy $I_C = 300 mA$
U_{CBO}			25	V	przy $I_C = 200 \mu A$
U_{BE0}			10	V	przy $I_E = 200 \mu A$
h_{21E}			91		przy $U_{CB} = 0, I_C = 50 mA$
$h_{21E}^{2)}$			100		przy $U_{CB} = 0, I_C = 300 mA$
$h_{21E}^{2)}$			65		przy $U_{CB} = 0, I_C = 1 A$
f_T		1	5	MHz	przy $U_{CE} = 2 V, I_C = 10 mA$
$f_{h_{21e}}$			20	kHz	przy $U_{CE} = 2 V, I_C = 10 mA$
C_{CB}			100	pF	przy $U_{CB} = 5 V, I_E = 0, f = 450 kHz$

Wartości graniczne

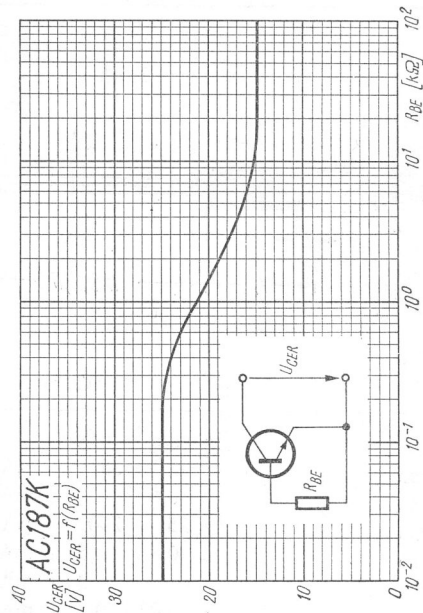
$U_{CBO} max$	25	V	$I_B max$	0,3	A
$U_{CE0} max$	15	V	$P_{tot} max$	1	W
$U_{EBO} max$	10	V	$t_j max$	90	$^{\circ}C$
$I_C max$	1	A	t_{stg}	-55 ÷ +75	$^{\circ}C$
$I_{CM} max$	2	A	$R_{th j-a} max$	45	$^{\circ}C/W$

¹⁾ $t_{amb} = 25^{\circ}C$

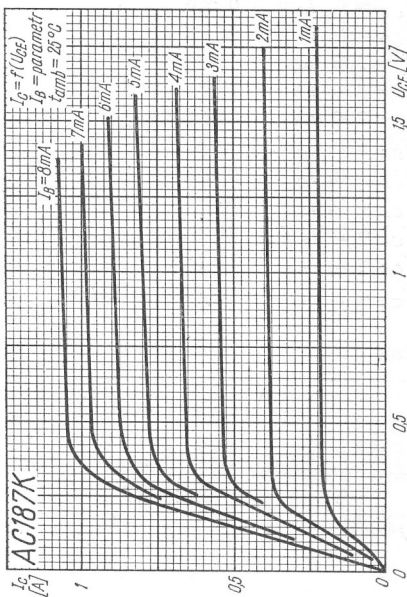
²⁾ pomiar impulsem $t_p = 0,5 ms, V = 0,01$



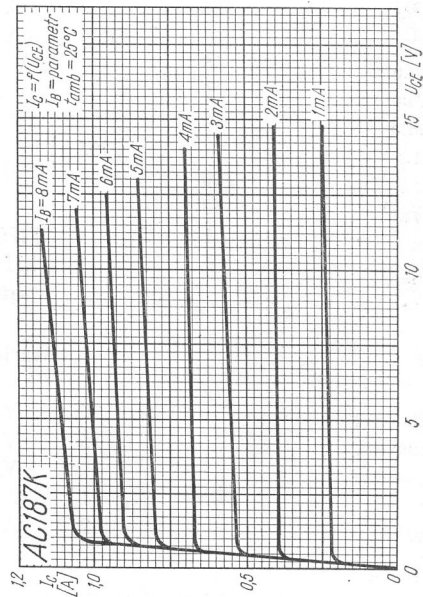
Rys. 1-86. Charakterystyka dopuszczalnej mocy strat w zależności od temperatury otoczenia



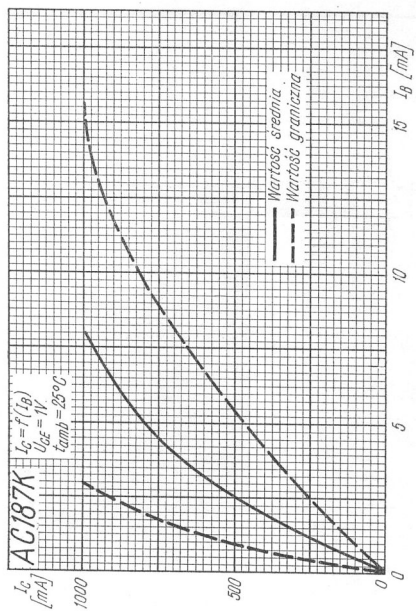
Rys. 1-87. Charakterystyka dopuszczalnego napięcia kolektora w zależności od rezystancji R_{BE}



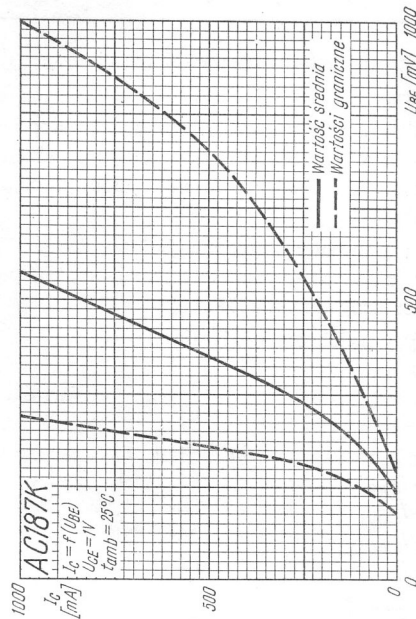
Rys. 1-88. Charakterystyki wyjściowe



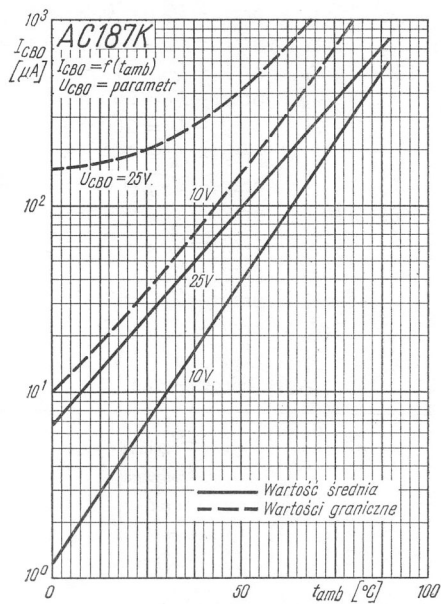
Rys. 1-89. Charakterystyki wyjściowe



Rys. 1-90. Charakterystyki sterowania prądowego



Rys. 1-91. Charakterystyka wyjściowa



Rys. 1-92. Zależność prądu zerowego kolektora od temperatury otoczenia